

# 含菌介质中 MDOPD 对 SRB 菌及生物膜腐蚀的抑制作用

黄金营<sup>1,2</sup> 只金芳<sup>1</sup> 陈振宇<sup>3</sup> 郑家燊<sup>3</sup> 刘宏芳<sup>3</sup>

(1. 中国科学院理化技术研究所博士后流动站 北京 100080;  
2. 中国石化中原油田博士后科研工作站 濮阳 457001; 3. 华中科技大学化学系 武汉 430074)

**摘要:** 用动电位扫描极化曲线、原子力显微镜和电子探针等方法研究了 SRB 生物膜在培养基介质中对于含咪唑杂环的双季铵盐化合物 MDOPD 的敏感性。结果表明:含菌介质中,MDOPD 吸附在电极表面,形成完整致密的有机保护膜,对电极的腐蚀反应具有良好的抑制作用,SRB 的代谢及腐蚀产物也难以在电极表面直接吸附和沉积,从而降低了 SRB 生长代谢的次生过程(包括酸浸蚀等)对腐蚀的促进作用;同时也降低了介质中的 SRB 参与碳钢腐蚀的机会。

**关键词:** 硫酸盐还原菌 双季铵盐 原子力显微镜 生物膜

中图分类号: Q939.98; TG172.7 文献标识码: A 文章编号: 1005-4537(2007)03-0167-05

## 1 前言

硫酸盐还原菌的生命活动改变了基体材料的表面状况,形成生物膜,并在膜内形成 pH、SO<sub>4</sub><sup>2-</sup>、O<sub>2</sub>、Cl<sup>-</sup>等浓度梯度<sup>[1,2]</sup>。SRB 生物膜的存在常导致点蚀、缝隙腐蚀、选择性溶解、应力腐蚀或垢下腐蚀等。目前,硫酸盐还原菌生物膜引起的微生物腐蚀越来越受到人们的关注<sup>[3~5]</sup>。

双季铵盐化合物是一种具有广阔应用前景的表面活性剂,属于阳离子型表面活性剂,虽然在整个表面活性剂中所占比例不高,但却具有其它类型活性剂所没有的特性而难以被取代。双季铵盐阳离子表面活性剂一般都具有抑菌的作用,目前已成为 SRB 杀菌剂开发的重要方向。另一突出的特性是容易吸附于一般固体表面,使固体表面改性。

原子力显微镜(AFM)由于具有原子/分子级的分辨率,并且可以得到样品表面真实的三维图像,已经被广泛应用于材料领域;同时由于它对样品无导电性等要求,非常适合对生物样品表面的微观结构进行研究。

MDOPD 是一种新型的双季铵盐化合物,它的合成及表征在前期工作中有详细的叙述<sup>[6]</sup>。本文利用动电位扫描极化曲线、原子力显微镜(AFM)和电子

探针(EPMA)等方法研究了 Q235 钢表面的 SRB 生物膜对含咪唑杂环的双季铵化合物 MDOPD 的敏感性。

## 2 实验方法

### 2.1 SRB 菌种及培养基

以分离提纯获得的硫酸盐还原菌(SRB)作为菌种,经鉴定为普通脱硫孤菌。采用 API RP - 38 所推荐的培养基,其组成为:乳酸钠 4.0 mL,酵母浸汁液 1.0 g,维生素 C 0.1 g,MgSO<sub>4</sub> · 7H<sub>2</sub>O 0.2 g,K<sub>2</sub>HPO<sub>4</sub> 0.01 g,NaCl 10.0 g,蒸馏水 1.0 L。

将上述部分配料先分别配成高浓度溶液(即乳酸钠 4.0 mL/10 mL,维生素 C 0.1 g/10 mL,MgSO<sub>4</sub> · 7H<sub>2</sub>O 0.2 g/10 mL,无水 K<sub>2</sub>HPO<sub>4</sub> 0.01 g/10 mL,酵母浸汁 1.0 g/10 mL),然后各取 10 mL 及 10 g NaCl,用蒸馏水稀释至 1.0 L。用 NaOH 调节 pH 至 7.0 ~ 7.2,在 1.2 × 10<sup>4</sup> Pa 的高压蒸汽下,灭菌 20 min,快速冷却至 37℃ 左右。

取 0.2 g (NH<sub>4</sub>)<sub>2</sub>SO<sub>4</sub>FeSO<sub>4</sub> · 6H<sub>2</sub>O 于滤纸上,在紫外灯下灭菌 15 min,然后溶于上述培养基中,37℃ 恒温保存备用。

### 2.2 动电位扫描极化曲线的测定

动电位扫描极化曲线测试采用传统的三电极体系。工作电极为 Q235 碳钢电极,辅助电极为 Pt 电极,饱和甘汞(SCE)电极为参比电极。

取两组带塞的 250 mL 三口烧瓶,每组烧瓶中的介质分别为空白培养基、培养基 + 0.1 g/L MDOPD。将已经过表面处理和紫外灯消毒的 Q235 钢电极分

定稿日期: 2006-08-15

基金项目: 湖北省自然科学基金资助项目(2000J013)

作者简介: 黄金营, 1972 年生, 男, 博士, 主要从事金属材料的腐蚀与

防护研究, 缓蚀剂、杀菌剂合成与评价

别插入烧瓶，并使培养基完全浸没电极，然后将烧瓶各口密闭后放入培养箱。在  $40^{\circ}\text{C} \pm 1^{\circ}\text{C}$  的条件下接种经过活化的 SRB 菌种，分别培养不同时间(1 d、3 d、5 d 和 7 d)后取出烧瓶。含菌烧瓶中的介质已变为黑色，表明 SRB 菌存活。用已灭菌注射器吸取 1 mL 含菌培养液进行菌量的测定，然后接上已经紫外灯消毒的参比电极和辅助电极。在  $40^{\circ}\text{C} \pm 1^{\circ}\text{C}$  水浴条件下，稳定 2 h 后进行动电位扫描极化曲线的测试。电位扫描速度 0.5 mV/s，相对于开路电位 -500 mV 扫描至 600 mV。

### 2.3 生物膜形貌观察

将经过表面处理和紫外灯消毒的 Q235 钢试片( $15\text{ mm} \times 15\text{ mm} \times 2\text{ mm}$ )分别浸入含菌培养基和加有 0.1 g/L MDOPD 的含菌培养基介质中(初始菌量为  $3.5 \times 10^6\text{ cells/mL}$ )， $40^{\circ}\text{C} \pm 1^{\circ}\text{C}$  下密闭培养 5d 后取出试片，移入厌氧操作箱中，在 1.0 L 含 2% 戊二醛的灭菌培养基中固化 8 h 后，取出样品。用不同浓度的酒精脱水(50%、70%、80%、85%、90%、95% 酒精脱水各 10 min，100% 酒精脱水 30 min)，待试片干燥后利用原子力显微镜(SPI3800)对碳钢表面生物膜形貌进行微观分析测试。实验采用接触模式，探针型号为 SN-AF01。用电子探针分析仪(JXA-8800R)分析生物膜元素的构成，束流  $2 \times 10^{-8}\text{ mA}$ ，加速电压 20 kV。

## 3 结果与讨论

### 3.1 SRB 生长周期对 MDOPD 吸附性能的影响

不同生长阶段的 SRB，其生长代谢活性和所生成生物膜的组成、结构等都存在差异。图 1 是 Q235 碳钢在空白及含有 0.1 g/L MDOPD 的含菌培养基介质中的动电位扫描极化曲线。

在空白含菌培养基介质中浸没 1 d 的 Q235 钢电极的极化行为呈现二次钝化曲线的特征(图 1a)。

可见，ab 段对应的电位区间是金属 Fe 的活化溶解区，b 点是 Q235 钢的第一个“致钝点”，bc 段对应的电位区间是 Fe 的“过渡钝化区”和“一次钝化区”。在此区间内，钢的表面生成一层疏松的生物膜，该钝化区较窄，说明生物膜在电极表面的覆盖不够完整致密，易随着电位的正移而发生破裂；c 点对应生物膜的破裂电位，cd 段对应的电位区间是“过钝化区”，电极表面的 SRB 生物膜随着电位的正移而被击穿或发生自身的溶解，其对碳钢电极的保护作用减弱，从而使腐蚀电流进一步上升；d 点为第二个“致钝点”，可能是因溶液中组分参加电极反应所致，d 点以上的电位区间内，碳钢电极表面生物膜局部点会随着电位继续正移而再次出现破裂，阳极电流在 e 点后继续增大。图 1a 还表明，随着浸泡时间延长，超过 2 d 后，de 段钝化区消失，这主要是由于浸泡初始时期 SRB 的代谢产物  $\text{S}^{2-}$  参与电极反应，生成了疏松的产物膜；在阳极电流作用下，使产物膜更为致密，起到了钝化作用，随着浸泡时间的延长，产物膜因大部分溶解而变得疏松，无法起到钝化作用，故对应的钝化区消失。

在 SRB 菌的培养基介质中，随着 SRB 的生长繁殖，碳钢表面生成生物膜，生物膜的存在阻碍了溶液介质与电极的接触。SRB 菌的新陈代谢和腐蚀产物促进了腐蚀反应的去极化过程，生物膜结构的变化对电极反应过程也产生了一定的影响，进而导致了碳钢基体表面的电化学性质的不均匀性<sup>[7]</sup>，促进了碳钢腐蚀的形成和发展。由于发生了不同的成膜过程，导致所形成膜层的致密性、均匀性和空隙率的变化，受 SRB 附着和新陈代谢的影响，碳钢表面在不同生长周期的 SRB 培养基介质中所形成生物膜的组成和结构不同；对介质中溶解氧以及  $\text{Cl}^-$  和  $\text{Na}^+$  等也就具有不同的通透性，从而影响碳钢基体的腐蚀过程。

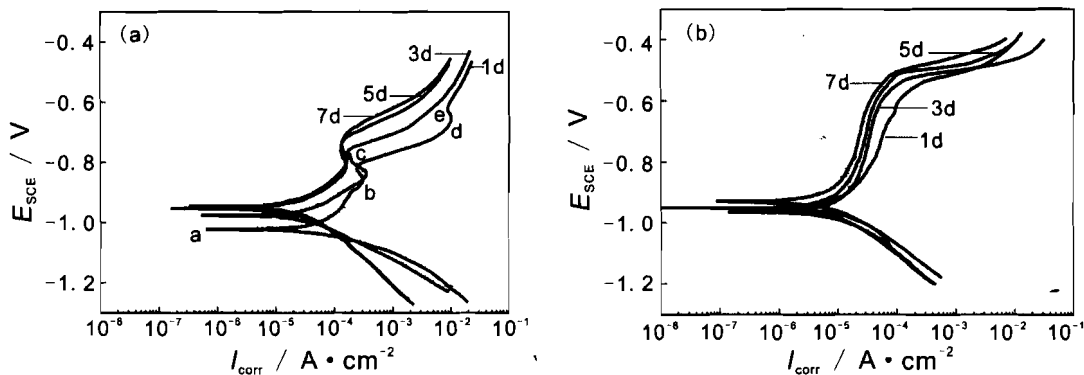
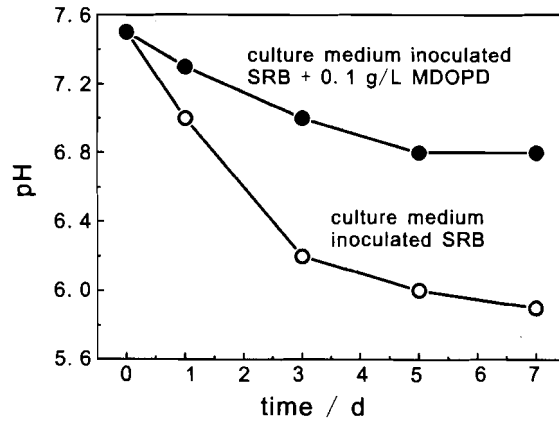


Fig. 1 Potentiodynamic polarization curves of carbon steel in culture medium inoculated SRB with immersion time ( $T = 40^{\circ}\text{C} \pm 1^{\circ}\text{C}$ )  
(a) blank, (b) 0.1 g/L MDOPD

**Table 1** Variation of SRB number in culture medium with cultured time ( $T = 40^{\circ}\text{C} \pm 1^{\circ}\text{C}$ )

culture time/d	1	3	5	7
SRB number in culture media/cells · mL <sup>-1</sup>	$3.5 \times 10^5$	$2.6 \times 10^7$	$3.2 \times 10^6$	$2.3 \times 10^6$
SRB number in culture media + 0.1 g · L <sup>-1</sup> MDOPD / cells · mL <sup>-1</sup>	$3.2 \times 10^2$	$1.5 \times 10^2$	$2.5 \times 10$	$1.2 \times 10$

**Fig. 2** pH vs. immersion time of carbon steel immersed in culture medium inoculated SRB

隨着浸泡時間的延長，碳鋼在含菌培養基中的陽極極化曲線的“二次鈍化”特徵逐漸減弱，趨向于呈現為“一次鈍化”，自腐蝕電位逐漸正移且趨于穩定，極化曲線向低電流方向移動，碳鋼的腐蝕傾向減緩。可以判斷，生長繁殖初期的 SRB 菌具有較強的生物活性，其生長繁殖和新陳代謝速度較快，產生的代謝產物和腐蝕產物能夠快速地在電極表面沉積並形成生物膜。SRB 菌較強的生長繁殖能力使生物膜的結構和表面狀態的變化較快，隨着 SRB 菌進入穩定生長期，其生長繁殖趨于穩定，碳鋼電極表面的 SRB 生物膜趨于完整致密，對碳鋼電極具有一定程度的保護作用。

與空白培養基介質相比，MDOPD 的加入使體系的自腐蝕電位正移，腐蝕電流密度迅速減小，腐蝕過程的陽極反應受到抑制。陽極極化曲線明顯出現 3 段特征不同的區域：(1)電位 - 电流曲線表觀為鈍化區域，在該區域 MDOPD 比較好地吸附在電極表面，使得腐蝕產物無法迅速地擴散，因而出現了類似於陰極擴散導致的極限電流區，表明 MDOPD 的吸附對腐蝕有很好的抑制效果；(2)腐蝕電流密度隨電位正移而迅速增大的“平臺”區，代表著電極表面的 MDOPD 發生了陽極脫附；(3)隨著極化電位繼續正移，出現類似無 MDOPD 時的無緩蝕區。為了跟蹤上述過程中菌量的變化，利用絕迹稀釋法測定了不同生長周期含菌培養基介質中的 SRB 菌量，結果見表 1。可知，在空白含菌培養基介質中，菌量變化較

為微弱，此時菌量的變化僅與其自身的新陳代謝有關；而在加有雙季銨鹽化合物 MDOPD 的含菌介質中，隨著培養時間延長，菌量有明顯的下降趨勢，這與 MDOPD 對液相中的浮游 SRB 的殺菌作用有關，使得 SRB 菌難以在碳鋼表面成膜。

由接種 SRB 菌液的 pH 值隨碳鋼試片浸泡時間的變化曲線（圖 2）可知，空白含菌培養基中，由於 SRB 的生長繁殖和新陳代謝使介質的 pH 值降低，使培養基介質的腐蝕性增強，或者造成生物膜下金屬表面局部 pH 值降低進而造成生物膜下的酸浸蝕<sup>[8]</sup>；而 MDOPD 的加入使 SRB 菌量降低，代謝活動減弱，從而使介質的 pH 值的變化較為微弱，MDOPD 通過在碳鋼表面的吸附成膜，也降低了介質的腐蝕性和生物膜下酸浸蝕的可能性。

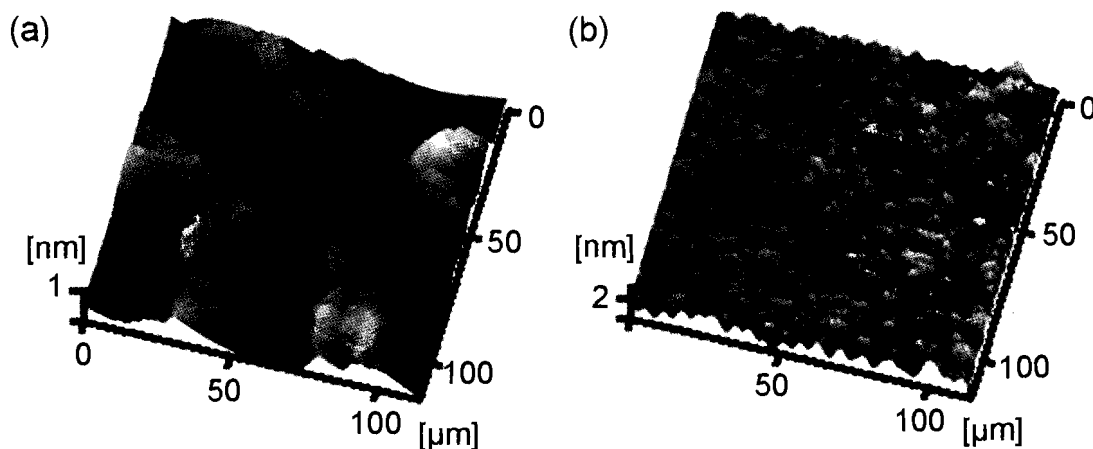
由上述實驗結果可認為：

(1) 含咪唑雜環的雙季銨化合物 MDOPD 通過對介質中的浮游 SRB 菌的有效殺滅，使液相中的菌量極大地減少，也抑制了殘余菌量的新陳代謝活動。同時，碳鋼表面附近的菌量也就難以得到補充，SRB 對金屬表面狀態的影響和電化學腐蝕過程的參與都會受到有效的抑制；

(2) MDOPD 通過在電極表面的吸附而形成完 整致密的有機保護膜，對電極的腐蝕反應具有良好的抑制作用；介質中 SRB 的代謝產物及腐蝕產物也難以在電極表面直接吸附和沉積，從而降低了 SRB 生長代謝的次生過程（包括酸浸蝕等）對腐蝕的促進作用。

### 3.2 碳鋼表面生物膜的微观分析

對比加入 MDOPD 前後的原子力形貌圖可以發現（圖 3），在空白培養基中表面的高度起伏為 10 μm、粗糙度為 50 nm；而加入 MDOPD 後，表面的高度起伏為 1 μm，粗糙度為 11 nm，樣品表面變得趨於平整。證實在空白培養基中，由於 SRB 的作用，樣品表面形成了大塊的生物膜，這些產物膜比較疏松，並且彼此孤立，形成了縫隙，這種不完整的產物膜與基體直接接觸，促進了腐蝕的進行。加入 MDOPD 後，MDOPD 事先在基體表面吸附，從而阻止了 SRB 生物膜與基體的直接接觸，有效地抑制了腐蝕的進行，同時由於 MDOPD 對產物膜有著細化、分散的作用。



**Fig.3** AFM micrographs of carbon steel coupon dipped in the culture medium ( $T = 40^{\circ}\text{C} \pm 1^{\circ}\text{C}$ , dipped time: 5 d) (a) blank culture medium (b) culture medium containing SRB + 0.1 g/L MDOPD

**Table 2** Percentage of elements in biofilm on carbon steel in culture medium inoculated SRB ( $T = 40^{\circ}\text{C} \pm 1^{\circ}\text{C}$ , dipped time: 5 d)

medium	EPMA test area	element mass percentage/%		
		O	S	P
culture medium inoculated SRB	biofilm surface	32.15	2.04	0
	surface under biofilm	31.01	1.48	0
culture medium inoculated SRB + 0.1 g/L MDOPD	biofilm surface	32.50	0	4.26
	surface under biofilm	30.98	0.82	0.37

用,使得沉积的产物膜比较完整、致密。

在含有 0.1 g/L MDOPD 的含菌培养基中,由于 MDOPD 在试片表面的优先吸附,使生物膜的沉积变得疏松。为了对比生物膜元素成分的差异,测试分析生物膜表面及清除生物膜后金属表面的元素成分(表 2)。可知,空白含菌培养基中碳钢生物膜表面呈现高的 S 含量,而 P 的含量为零,而 MDOPD 含菌培养基介质中,则呈现高的 P 含量和较低的 S 含量。这种现象说明,SRB 代谢产物极大地改变了碳钢表面环境的化学组成:在空白含菌介质中,SRB 菌群在生物膜表面大量地生长繁殖,其代谢产生的 S 与 Fe 结合为硫化物;在加有 MDOPD 的含菌培养基中,由于 MDOPD 吸附和杀菌的双重作用而使 SRB 的代谢活动受到有效的抑制,从而使在该环境中的碳钢沉积膜中的 S、P 元素的含量发生变化。SRB 在碳钢表面形成代谢产物的机会降低,生物膜的大量沉积得到缓解,由生物膜内 SRB 直接或间接引起的局部腐蚀就会因此而受到抑制。

## 4 结论

(1) 含咪唑杂环的双季铵化合物 MDOPD 通过对液相中 SRB 的杀菌作用,有效地抑制了 SRB 的新陈代谢活动并降低了 SRB 参与碳钢腐蚀的机会。

(2) 由于 MDOPD 在碳钢表面的吸附而形成完整的致密的缓蚀保护膜,对碳钢的腐蚀反应具有良好的抑制作用,介质中 SRB 的代谢产物及腐蚀产物也难以在电极表面直接吸附和沉积,这就降低了 SRB 生长代谢的次生过程(包括酸浸蚀等)对腐蚀的促进作用。

## 参考文献:

- [1] Beer D, Stoodley P, Roe F, Lewandowski Z. Effects of biofilm structures on oxygen distribution and mass transport [J]. Biotechnol. Bieng., 1994, (3): 1131
- [2] Wang W, Wang J, Xu H B. Influence of biofilms adsorption kinetics on the open-circuit-potential changes of passive metals in seawater [J]. J. Chin. Soc. Corros. Prot., 2006, 26 (2): 65  
(王伟, 王佳, 徐海波. 海洋环境中微生物膜吸附动力学过程对钝态金属开路电位变化特征的影响 [J]. 中国腐蚀与防护学报, 2006, 26 (2): 65)
- [3] Liu J, Xu L M, Zheng J S. A study on corrosion behavior under the biofilm of sulfate-reducing bacteria on Cu-Zn alloy [J]. J. Chin. Soc. Corros. Prot., 2001, 21 (6): 345  
(刘靖, 许立铭, 郑家燊. 硫酸盐还原菌生物膜下 Cu-Zn 合金的腐蚀研究 [J]. 中国腐蚀与防护学报, 2001, 21 (6): 345)
- [4] Liu H F, Xu L M, Zheng J S. Influence of SRB biofilm on corrosion of carbon steel [J]. J. Chin. Soc. Corros. Prot., 2000, 20 (2): 41  
(刘宏芳, 许立铭, 郑家燊. SRB 生物膜与碳钢腐蚀的关系 [J]. 中国腐蚀与防护学报, 2000, 20 (2): 41)

- [5] Satoshi Okabe, Takayuki Matsuda, Hisashi Satoh, et al. Sulfate reduction and sulfide oxidation in aerobic mixed population biofilms [J]. Water Sci. Technol., 1998, 37 (4-5): 131-138
- [6] Huang J Y, Zheng J S, Wei H F. Study on the corrosion inhibiting performance of MBQA in simulated oilfield water [J]. Mater. Prot., 2004, 37 (2): 6  
(黄金营, 郑家燊, 魏慧芳. 高矿化度盐水介质中双季铵盐的缓蚀
- 性能研究 [J]. 材料保护, 2004, 37 (2): 6)
- [7] Tanji Y, Itoh T, Nakano T, et al. Chemical analysis of an artificial biofilm that enhances or inhibits carbon steel corrosion [J]. Corrosion, 2002, (3): 232
- [8] Zbigniew L, Wayne D, Whoncheol L. Electrochemical interactions of biofilms with metal surfaces [J]. Water Sci. Technol., 1997, 36 (1): 295

## EFFECT OF MDOPD AGAINST CORROSION INDUCED BY SULFIDE - REDUCING BACTERIA AND ITS BIOFILM IN CULTURE MEDIUM INOCULATED SRB

HUANG Jinying<sup>1,2</sup>, ZHI Jinfang<sup>1</sup>, CHEN Zhenyu<sup>3</sup>, ZHENG Jiashen<sup>3</sup>, LIU Hongfang<sup>3</sup>

(1. Technical Institute of Physics and Chemistry, Chinese Academy of Sciences, Beijing 100101;  
2. Zhongyuan Oilfield Postdoctoral Workstation of Chinese Petrochemical Stock Corporation, Puyang 457001;  
3. Department of Chemistry, Huazhong University of Science and Technology, Wuhan 430074)

**Abstract:** Electrochemical polarization curves, atom force spectroscopy and electronic probe measurement analysis were used to study the sensitivity of biofilm on Q235 steel to MDOPD in the culture medium inoculated sulfide-reducing bacteria (SRB). The experiment results show that surface status of Q235 steel electrode and corrosion reaction facilitated by SRB were decreased greatly owing to the adsorptive film of MDOPD. It is difficult for metabolized product of SRB in medium and corrosion production to deposit directly on carbon steel surface, then the acceleration effect of SRB metabolism course including acid soak to corrosion was reduced markedly. At the same time, it is hardly possible for SRB in medium to metabolize on carbon steel surface and this would decrease the possibility for SRB to assist corrosion in the medium.

**Key words:** SRB, bisquats, dynamic polarization curves, biofilm